

Методические указания к практическим занятиям по разделу физики "Оптика"

Методические указания к решению задач домашнего задания по данной теме. (5 модуль)

Для студентов, изучающих физику 3 семестра.

Раздел "Оптика" включает в себя темы:

- |                         |                            |
|-------------------------|----------------------------|
| 1) Интерференция света. | } Волновая природа света.  |
| 2) Дифракция света.     |                            |
| 3) Поляризация света.   |                            |
| 4) Тепловое излучение   | } Квантовая природа света. |
| 5) Явление фотозффекта. |                            |

Тема 1: Интерференция света.

Явление интерференции света - перераспределение освещенности на поверхности экрана.

Это явление возникает при определенных условиях как следствие из одного, экспериментально установленных законов геометрической оптики - закона независимости световых лучей.

По этому закону освещенность поверхности увеличивается при увеличении количества источников света и результат освещенности в каждой точке поверхности является суммой освещенностей, создаваемых каждым источником.

Почему, и в каких ситуациях возникает явление интерференции света, и в чем оно заключается?

Поскольку то, что мы называем светом - это электромагнитные волны определенной диапозона, вспомним что такое электромагнитная волна.

Какой физический процесс носит название колебания?

Какие параметры описывают этот процесс?

Какие колебания называются гармоническими?

Какой физический процесс носит название волны?

Какой параметр определяет волну?

Какие волны носят название сложнопериодические?

Типы волн - продольные и поперечные?



Цит.

Параметры колебаний - период (T), амплитуда (A), фаза (φ).

Колебания, у которых в течение времени наблюдения период, амплитуда и начальная фаза остаются неизменными носят название - гармонические.

Такие колебания могут быть описаны математически:

$S = A \cos(\omega t + \varphi_0)$  - где S - состояние колебательного процесса в данный момент времени,

$\varphi = (\omega t + \varphi_0)$  - фаза колебаний,

$\varphi_0$  - начальная фаза колебаний,

A - амплитуда колебаний,

Волна - это распространение в пространстве процесса колебаний.

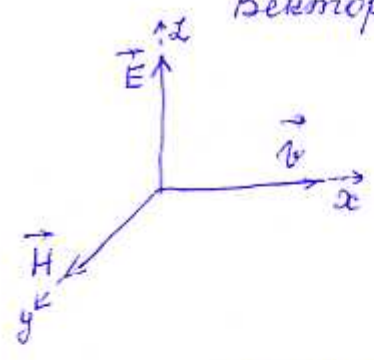
Множественная волна - распространение гармонических колебаний.

Если в волне направление колебаний перпендикулярно направлению ее распространения - волна поперечная.

Если в волне направление колебаний параллельно направлению ее распространения - волна продольная.

Примером поперечных волн являются электромагнитные.

Векторная диаграмма электромагнитной волны:



Следствия из уравнений Максвелла:

1) Вектора напряженностей электрического и магнитного полей E и H колеблются во взаимно перпендикулярных направлениях, синфазно (т.е. одновременно достигают max и min значений), связь между ними линейна и описывается выражением:

$\sqrt{\mu} H = \sqrt{\epsilon} E$ , где  $\mu$  и  $\epsilon$  магнитная и электрическая проницаемость среды, в которой распространяются эти колебания.

2) Плоскость, образованная векторами E и H перпендикулярна к скорости распространения v.

3) Электромагнитные колебания, возникнув в источнике, не остаются локализованными, а распространяются в пространстве со скоростью:

$v = \frac{c}{\sqrt{\epsilon \mu}}$  (1), при этом  $\sqrt{\epsilon \mu} \equiv n$  - характеристика среды, используемая при описании оптических явлений в средах, и носящая название - показатель преломления среды.

c - отношение электромагнитной и электростатической единиц силы тока (она же и, естественно, скорость света в вакууме) (2)



Инт.

Чтобы связать  $\epsilon$ ,  $\mu$  и  $n$ , выражение для скорости распространения электромагнитных колебаний (1) можно записать в виде:

$$v = \frac{c}{n} \text{ из этого соотношения } n = \frac{c}{v} - \text{определение}$$

показателя преломления среды - величина, показывающая во сколько раз скорость света в вакууме больше, чем в данной среде.

Поскольку параметром монохроматической волны является длина волны -  $\lambda = vT$ , то, так как  $v$  разная в разных средах, то и  $\lambda$  разная:

$$\lambda = v \cdot T = \frac{c}{n} \cdot T = \frac{\lambda_0}{n} \quad (2), \text{ где } \lambda_0 - \text{длина волны в вакууме.}$$

Так как колебание не остается на месте, а распространяется с фазовой скоростью  $\vec{v}$ , то фаза колебания в момент времени  $t$  (если положить  $\varphi_0 = 0$ ) определяется:

$$\varphi = \omega t = 2\pi \nu \frac{d}{v} = 2\pi \cdot \frac{1}{T} \cdot \frac{d}{v} = 2\pi \frac{d}{\lambda} \quad \text{где } d - \text{расстояние на которое распространилось колебание за время } t \text{ в данной среде}$$

Если учесть связь  $\lambda$  с  $\lambda_0$  (выражение 2) то:

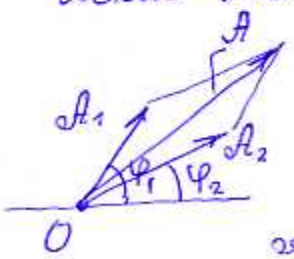
$$\varphi = 2\pi \frac{dn}{\lambda_0} \quad (3) \text{ где } dn - \text{оптическая длина пути обозначается } (d)$$

$dn$  имеет физический смысл:

$$dn = d \frac{c}{v} = tc - \text{расстояние, на которое распространилось бы колебание в вакууме за реальное время распространения его в среде.}$$

Так как с одинаковыми колебаниями мы никогда не имеем дело, то есть, в одну и ту же точку, в одно и то же время приходит большее количество колебаний, их свойства (длина волны - скорости их распространения) должны быть определены в одной системе отсчета (для света это вакуум).

Что произойдет в точке  $O$  освещаемой поверхностью, если в нее придут (пусть) два колебания (т.е. две монохроматические волны). (от двух источников)



одно с амплитудой  $A_1$  и в фазе  $\varphi_1$   
другое с амплитудой  $A_2$  и в фазе  $\varphi_2$

Амплитуда результирующего колебания  
 $A^2 = A_1^2 + A_2^2 + 2A_1A_2 \cos(\varphi_1 - \varphi_2) \quad (4)$



а) Если разность фаз колебаний  $\varphi_1 - \varphi_2 \equiv \Delta\varphi$  хаотически, бесцельно меняется, то среднее значение  $\cos(\Delta\varphi)$  за время наблюдения становится равным 0 и результирующая амплитуда становится:

$$A^2 = A_1^2 + A_2^2 \quad (\text{из выражения (4)})$$

Поскольку освещенность (или интенсивность) есть величина пропорциональная квадрату амплитуды, то в этом случае в точке на экране возникает освещенность равная сумме освещенностей! — закон геометрической оптики о независимости световых пучков.

б) Но, если, в течение времени наблюдения, разность фаз колебаний остается неизменной и, например, равной 0 или четному числу  $\pi$ , т.е.  $\Delta\varphi = 0, 2\pi, 4\pi, \dots$  то выражение (4) приобретает вид:  $A^2 = (A_1 + A_2)^2$ , что больше суммирования освещенностей.

В этом случае в данной точке наблюдается максимально возможная освещенность (интенсивность)

в) Если в другой точке разность фаз колебаний остается неизменной, но равной нечетному числу  $\pi$ , т.е.  $\Delta\varphi = \pi, 3\pi, 5\pi, \dots$  то выражение (3) приобретает вид:  $A^2 = (A_1 - A_2)^2$ , что меньше суммирования освещенностей, а, если  $A_1 = A_2$ , то  $A^2 = 0$

В этом случае в данной точке наблюдается минимально возможная освещенность (интенсивность).

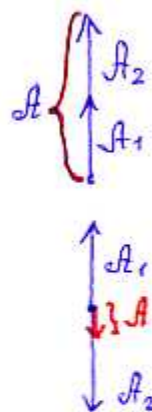
Таким образом происходит перераспределение освещенности на экране — т.е. явление интерференции.

Итак:

Условие наблюдения интерференции:

max —  $\Delta\varphi = 0, 2\pi, 4\pi, \dots$  четное число  $\pi$

min —  $\Delta\varphi = \pi, 3\pi, 5\pi, \dots$  нечетное число  $\pi$



|| Решить задачу интерференции — означает найти распределение на поверхности max и min интенсивности.



Цит.

Найти распределение разности фаз колебаний в точках экрана очень сложно, но зная, что фазы колебаний зависят от оптической длины пути луча (выражение (3)), можно найти условия наблюдения макс и мин интерференции через оптические длины путей.

Учтя связь фазы колебаний с оптической длиной пути:

Искомая 
$$\Delta\varphi = \varphi_1 - \varphi_2 = 2\pi \frac{d_1 n_1}{\lambda_0} - 2\pi \frac{d_2 n_2}{\lambda_0} = 2\pi \frac{(d_1 n_1 - d_2 n_2)}{\lambda_0}$$

$(d_1 n_1 - d_2 n_2) \equiv \Delta$  называется оптической разностью хода и обозначается  $\Delta$

Итак: 
$$\Delta\varphi = 2\pi \frac{\Delta}{\lambda_0}$$

1) Если оптические пути от двух источников в данную точку экрана одинаковы, то  $\Delta = 0$  и  $\Delta\varphi = 0$

Если в другой точке экрана  $d_1 n_1 - d_2 n_2 = \Delta = \lambda_0$ , то  $\Delta\varphi = 2\pi$

Если в третьей точке экрана  $d_1 n_1 - d_2 n_2 = \Delta = 2\lambda_0$ , то  $\Delta\varphi = 4\pi$  и т.д.

В этих случаях в точках на экране наблюдаются макс интерференции.

2) Если в некоторой точке экрана  $d_1 n_1 - d_2 n_2 = \Delta = \frac{\lambda_0}{2}$ , то  $\Delta\varphi = \pi$

Если в другой точке на экране  $d_1 n_1 - d_2 n_2 = \Delta = \frac{3}{2}\lambda_0$ , то  $\Delta\varphi = 3\pi$  и т.д.

В этих случаях в точках на экране наблюдаются мин интерференции.

Окончательно условия наблюдения интерференции на поверхности экрана выглядят так:

Если в оптической разности хода лучей в данную точку экрана укладывается целое число длин волн, в этом месте наблюдается макс интерференции.

Если в оптической разности хода лучей в точку экрана укладывается нечетное число полуwave, в этом месте экрана наблюдается мин интерференции.

запись:  $\Delta = k\lambda$ , где  $k = 0, 1, 2, 3, \dots$  макс

$\Delta = (2k-1)\frac{\lambda}{2}$ , где  $k = 1, 2, 3, \dots$  мин

величина k называется порядком интерференции.

если, например:  $\Delta = 2\lambda$  - мы наблюдаем макс 2<sup>го</sup> порядка

если, например:  $\Delta = \frac{\lambda}{2}$  - мы наблюдаем мин 1<sup>го</sup> порядка



Инт.

Соблюдение данных условий возможно только, если колебания, приходящие в каждую точку экрана когерентны. Условием когерентности является монохроматичность излучения и постоянство разности фаз колебаний в течение времени наблюдения.

До изобретения лазеров когерентное излучение можно было получить с помощью оптической системы разделив пучок лучей на два, а затем дать возможность им снова встретиться.

Способы наблюдения картин интерференции делятся на 2 типа:

- 1) Деление волнового фронта (интерференционные картины от точечного источника)
- 2) Амплитудное деление (т.е. деление по интенсивности).

К первому методу наблюдения картины относятся схемы:

Юнга

Бизеркала Френеля

Бипризма Френеля

Зеркало Ллойда

Билинга Бийе

Ко второму типу наблюдения картины относятся интерференционные картины в тонких пленках, где деление пучка происходит за счет отражения и преломления на границах сред.

Они носят названия: Полосы равной толщины.  
Полосы равного наклона.

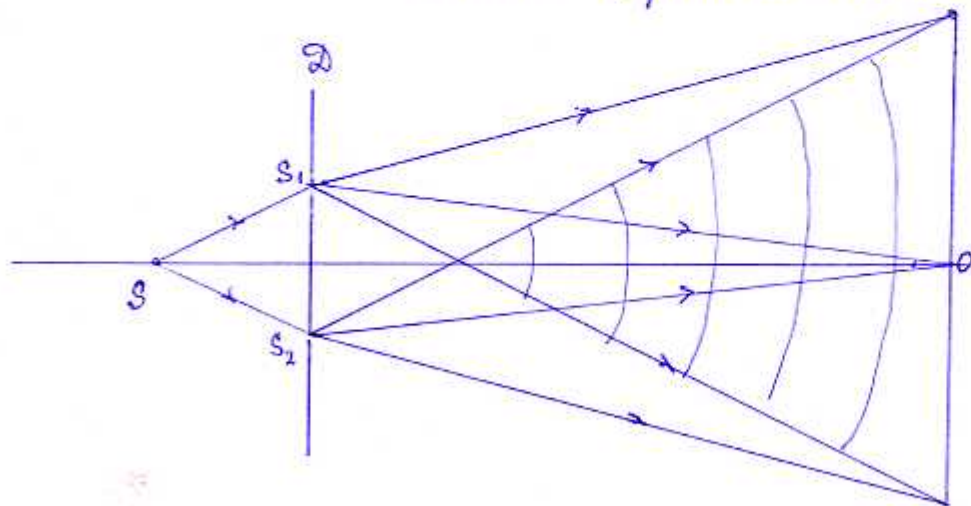
Р.С.



## Демонстрация волнового фронта

Во всех указанных выше схемах возникают два новых точечных источника колебаний (действительно или мнимые), естественно, с одинаковыми параметрами, так как получены делением одного волнового фронта (лучей от одного источника).

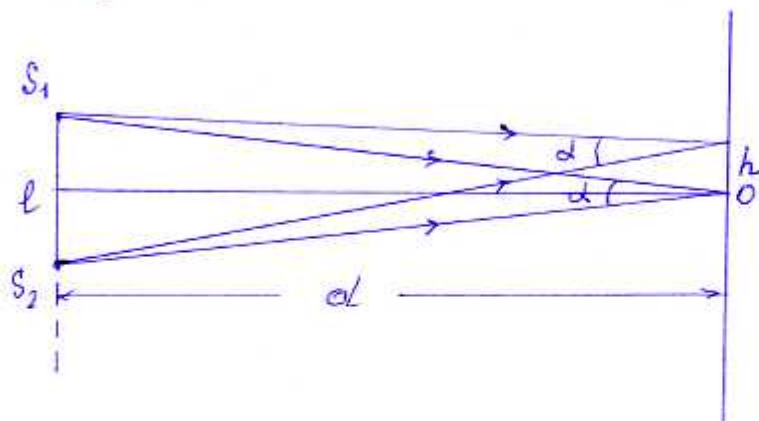
Самая простая схема - схема Юнга.



На диаграмме  $D$  с двумя точечными отверстиями, находящимися на одинаковом расстоянии от источника  $S$ , образуются два когерентных источника  $S_1$  и  $S_2$ .

В области перекрытия лучей от этих источников, куда-бы мы не поставили экран, на нем будет наблюдаться картина интерференции.

Чтобы найти картину интерференции надо найти распределение оптической разности хода на экране.



Если источники  $S_1$  и  $S_2$  находятся в однородной среде, то оптические длины путей  $S_1O$  и  $S_2O$  равны, соответственно,  $\Delta = 0$ .

В этой точке будет наблюдаться та же интерференция  $0^\circ$  порядка (или центральный максимум).

Вверх и вниз по экрану разность хода между лучами, переходящими в каждую точку, будет увеличиваться линейно. Вверх от  $(0)$  наращивание разности хода идет за счет увеличения оптической длины пути центрального луча, вниз, соответственно, верхнего.

Область наблюдения картины интерференции очень мала. Угол схождения лучей -  $\alpha$ , в данной системе (при постоянных параметрах  $d$  - расстоянии между источниками и  $l$  - расстоянии от источников до экрана) очень мал и постоянен.



Инт.

Подобно при малых углах  $\alpha$  наблюдается условие когерентности. Из простого физического соображения можно видеть, что оптическая разность хода в точках экрана будет определяться выражением:

$$\Delta = \frac{h \ell}{d} \quad (*)$$

чем дальше от  $(0)$  (больше  $h$ ), тем больше  $\Delta$ ; чем больше  $\ell$ , больше  $\Delta$ , и быстрее растет  $\Delta$ ; чем больше  $d$ , тем меньше  $\Delta$  и медленнее растет  $\Delta$ .

Алгебраический вывод выражения для распределения  $\Delta$  по экрану смотрите в учебнике Ландсберга "Оптика".

Важно: Оптическая разность хода лучей в любой оптической системе есть свойство самой системы и не зависит от длины волны света.

Картинка же интерференции зависит от длины волны света.

Рассмотрим картину вверх от точки  $O$ . Вниз она будет симметрична.

В точке  $O$   $h=0$  и, соответственно  $\Delta=0$ .

Следующий макс будет, когда в разности хода уложится одна длина волны -  $\Delta = \lambda$ , тогда выражение  $(*)$  будет иметь вид:

$$\lambda = \frac{h \ell}{d};$$

в этом случае  $h$  - это расстояние на экране от интерференционного макс  $0^{\text{го}}$  порядка до макс  $1^{\text{го}}$  порядка.

Расстояние на экране между соседними максимумами или минимумами называется шириной интерференционной полосы, и, тогда  $h$  - это и есть ширина интерференционной полосы.

$$h \equiv \Delta x = \frac{\lambda d}{\ell}$$

ширина интерференционной полосы в схеме Юнга и в остальных, работающих при делении волнового фронта.

Можно видеть, что при постоянных параметрах установки и постоянной  $\lambda$ , ширина интерференционной полосы остается постоянной.

Если  $h^{k+1}$  - расстояние от точки  $O$  на котором наблюдается максимум  $k+1$  порядка,  $h^k$  - соответствующее расстояние до точки наблюдения  $k$ -того макс, то:

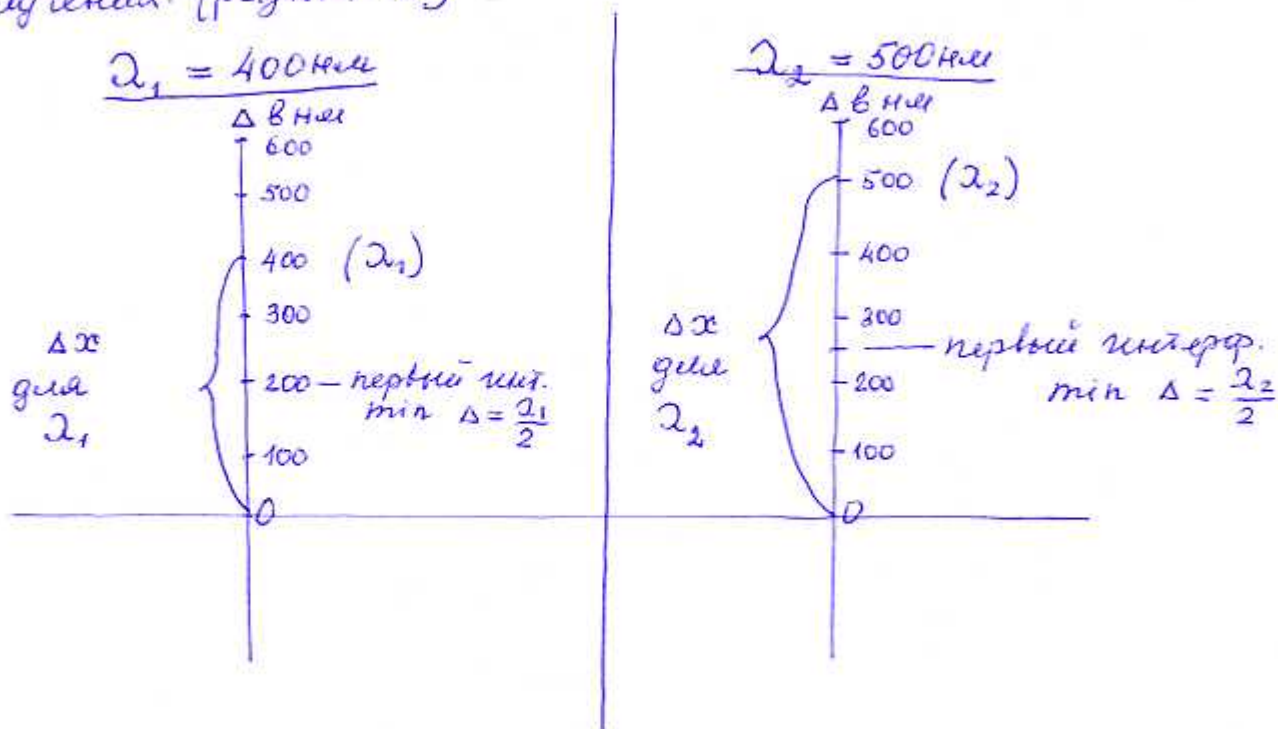
$$\Delta x = h^{k+1} - h^k = \frac{(k+1)\lambda d}{\ell} - \frac{k\lambda d}{\ell} = \frac{\lambda d}{\ell}, \text{ или, учитывая } \frac{\ell}{d} \approx \text{tg } \alpha = \alpha$$

$$\Delta x = \frac{\lambda}{\alpha}$$



Упт.

В одной и той же схеме Юнга картины интерференции выглядят различным образом при разных источниках излучения. (разных  $\lambda$ )



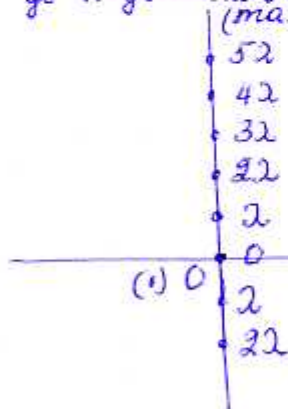
Что произойдет с картиной интерференции на экране, если оптический длины путей от одного из источников искусственно увеличить на  $N$  длин волн вставив на пути этих лучей более плотную среду (например пластинку слюды.)



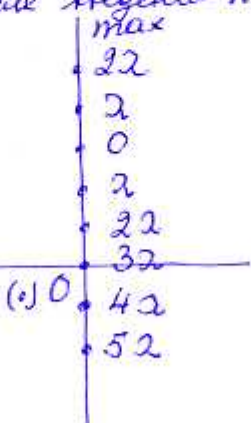
В силу малости угла  $\alpha$  можно считать, что лучи от источника  $S_1$  падают на пластинку  $\perp$  поверхности.

Для наглядности происходящего предположим что  $N=3$ , если длина волны источника  $\lambda$ ; тогда:

Распределение положений макс до вставки пластинки (max)



Распределение положений макс после вставки пласт.



В каждой точке экрана  $\Delta$  изменилась на  $3\lambda$  (так говорит на физическом жаргоне: если  $\lambda = 400 \text{ нм}$ , то  $\Delta$  изменилась на  $1200 \text{ нм}$ ).

Пишут  $A(\Delta) = 3\lambda$

Это привело к смещению картины интерференции на 3 полосы.



Итт. Задача 1. На пути одного луча в интерференционной установке Юнга стоит трубка длиной  $l = 2 \text{ см}$  с плоскопараллельными стеклянными основаниями, и наблюдается интерференционная картина, когда трубка заполнена воздухом. Затем трубка наполняется жидкостью и при этом наблюдается смещение интерференционной картины на  $N = 20$  полос. Вся установка заключена в термостат, поддерживающий постоянную температуру. Наблюдения производятся со светом линии  $\lambda$  натрия ( $\lambda = 5890 \text{ \AA}$ ). Кривая показателя преломления воздуха равна  $n = 1,000276$ , определить показатель преломления ( $n'$ ) жидкости. В какую сторону смещаются полосы интерференции при наполнении трубки жидкостью?

$$\begin{aligned} n &= 1,000276 \\ \lambda &= 5890 \text{ \AA} \\ l &= 2 \text{ см} \\ N &= 20 \text{ полос} \\ n' &=? \end{aligned}$$

Смещение картины интерференции на  $N$  полос означает, что в каждой точке экрана произошло изменение оптической разности хода  $\Delta(\Delta)$  на  $20\lambda$ .

В данной задаче оптическая длина пути меняется только в верхней трубе, поэтому  $\Delta(\Delta)$  в каждой точке экрана зависит только от оптических длин путей в этой трубе.

⊛ Изменение оптической длины пути происходит только внутри трубки, поэтому  $\Delta(\Delta) = n'l - nl$  (мы предполагаем, что  $n' > n$ ). По условию задачи  $\Delta(\Delta) = N\lambda$ ,

$$\text{тогда } n'l - nl = N\lambda \Rightarrow \underline{n' = n + \frac{N\lambda}{l}}$$

$$\underline{n' = 1,000276 + 20 \cdot \frac{0,589 \cdot 10^{-3}}{2}} = 1,000276 + 0,000589 = \underline{1,000865}$$

В общем случае (без учета ⊛) решение выведет так:

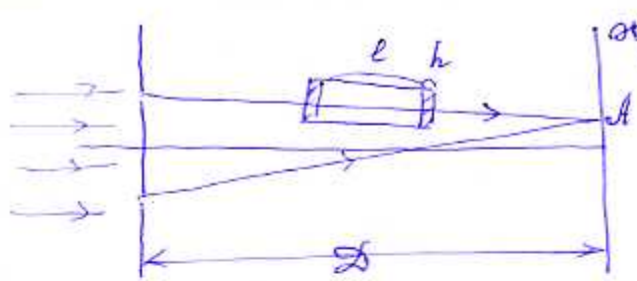
Зам: расстояние от источников до экрана -  $D$   
 толщина стеклянных оснований -  $h$   
 показатель преломления стекла -  $n_{ст}$ , то

Оптич. длина пути луча в первом случае  $\Delta_1$ , во втором  $\Delta_2$

$$\left. \begin{aligned} \Delta_1 &= (D - l - 2h)n + ln + 2hn_{ст} \\ \Delta_2 &= (D - l - 2h)n + ln' + 2hn_{ст} \end{aligned} \right\} \text{откуда: (рис. далее)}$$

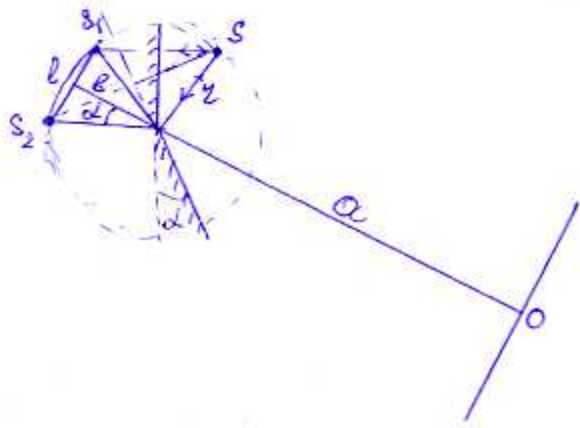
$$\underline{\Delta(\Delta) = \Delta_2 - \Delta_1 = ln' - ln}, \text{ далее вышесказанное решение.}$$





экран Ответ на второй вопрос: (задача 1)  
 Полосы интерференции смещаются в данной схеме вверх.  
 попробуйте дать объяснение!

Изм. Задача 2. Определить угол  $\alpha$  между зеркалами Френеля, если ширина интерференционной полосы на экране ( $\Delta x$ ) равна 1 мм,  $r = 10$  см, длина волны  $\lambda = 486$  нм, расстояние от ребра зеркала до точки O на экране ( $a$ ) равно 1 м. Интерферирующие лучи падают на экран приблизительно перпендикулярно.



$S_1$  и  $S_2$  - возникшие мнимые когерентные источники

Из теории:  $\Delta x = \frac{\lambda l}{l}$   $\Rightarrow$

$\Rightarrow \lambda = \Delta x = \frac{\Delta x l}{\Delta}$   $\otimes$  где

$\frac{l}{2} = r \cdot \sin \alpha$

учте, что  $\alpha$  - мал

$l = 2 r \alpha$

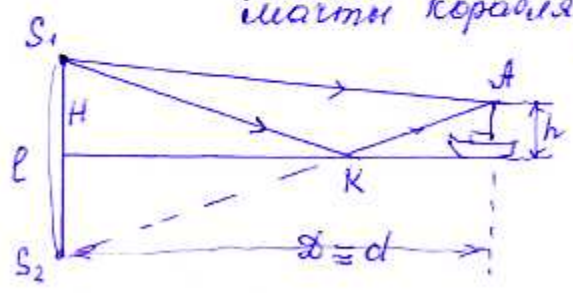
$\Delta = r + a$ , где  $r = r \cos \alpha \approx r$  и

$\Delta = r + a$ , тогда  $\otimes$

$\lambda = \frac{\Delta x \cdot 2 r \alpha}{r + a} \Rightarrow \alpha = \frac{\lambda (r + a)}{2 r \Delta x}$

$\alpha = \frac{0,486 \cdot 10^{-3} \cdot 1,1 \cdot 10^{-3}}{2 \cdot 1 \cdot 10^2 \cdot 1} = 26,73 \cdot 10^{-4} \text{ рад} = 9,12''$

Изм. Задача 3. Высота радиомаяка над уровнем моря  $H = 200$  м, расстояние до корабля  $d = 5,5$  км. Определите оптимальную высоту мачты корабля для приема сигналов с длиной волны  $\lambda = 1,5$  м.



Аналог - схема Юнга  
 В задаче подразумевается нахождение высоты мачты при которой наблюдается 1-ый тма интерференции.  
 То есть в возникающей  $\Delta$  должен уложиться  $\lambda$ .

$\Delta = S_2 A - S_1 A = \frac{r h}{d}$ , но, реально в данной схеме интерферируют лучи  $S_1 A$  и  $S_1 K A$ .



Лит.

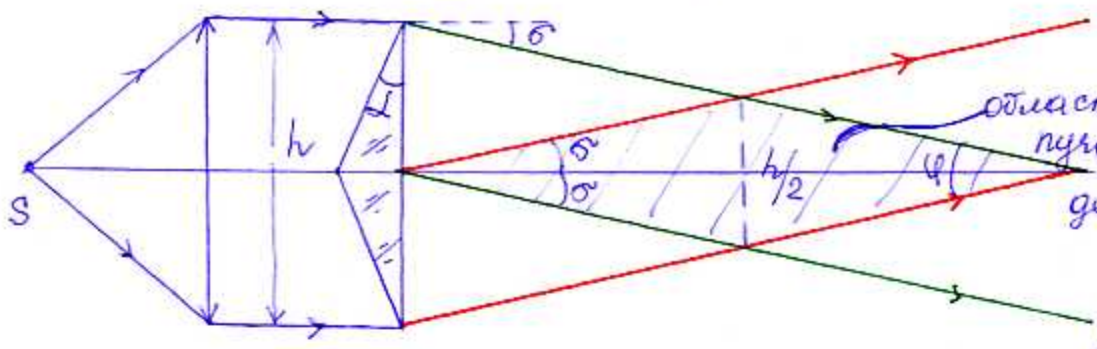
второй луч попадает в точку А после отражения от поверхности воды, которая имеет показатель преломления больше показателя преломления воздуха, что означает, что при отражении электромагнитные колебания испытывают изменение фазы колебаний на  $\pi$ , которое соответствует изменению оптической фазы пути на  $\pm \frac{\lambda}{2}$ .

Тогда в данной схеме  $\Delta$ , возмущающая  $\nu(\sigma)$  определяется как:  $\Delta = \frac{2h}{d} + \frac{\lambda}{2} = \frac{2Hh}{d} + \frac{\lambda}{2}$

С другой стороны: в  $\Delta$  должна уложиться  $2$  }  $\Rightarrow$

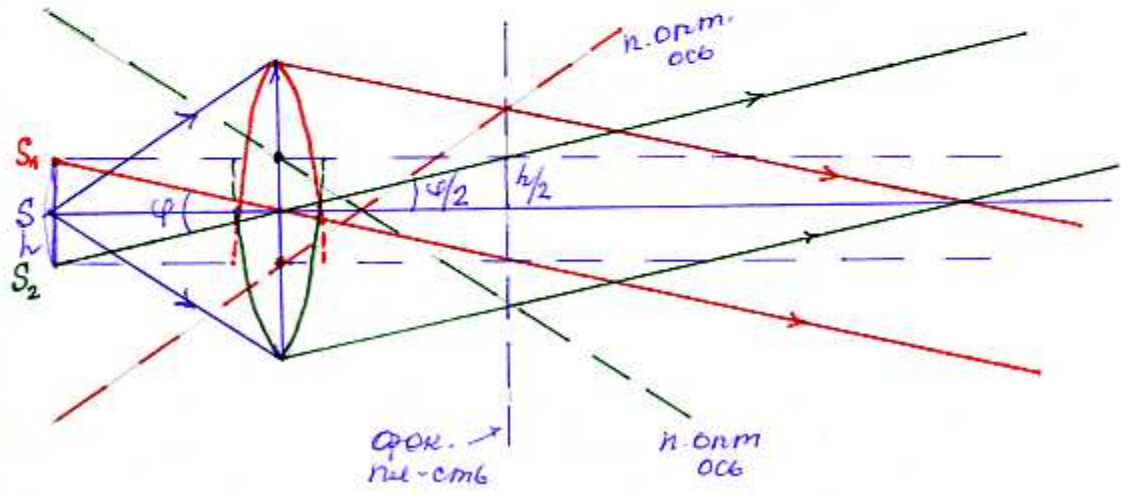
т.е.  $\frac{2Hh}{d} + \frac{\lambda}{2} = 2$  и  $h = \frac{d \cdot 2}{4H} = \frac{5,5 \cdot 10^{-3} \cdot 1,5}{4 \cdot 2 \cdot 10^2} = \underline{\underline{10,3 \text{ м}}}$

Путь лучей в интерференционной установке:  
Бипризма Френеля



область перекрытия пучков, (область наблюдения картины интерференции) угол схождения  $(\varphi)$  лучей во всей области одиноков  $\lambda$   
 $\Delta x = \frac{\lambda}{\varphi} = \frac{\lambda}{2\sigma}$

Формула Бийе





Опт.

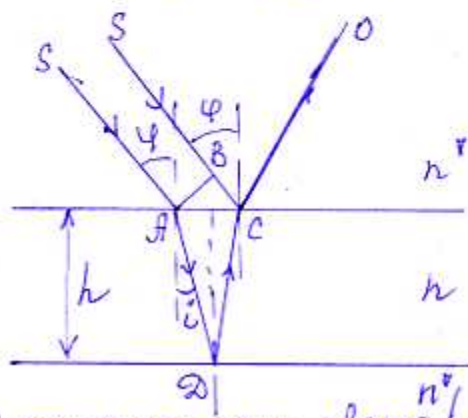
## Амплитудное деление.

Локализация полос интерференции.

(Цвета тонких пленочек, Полосы раковой толщины)

Необходимое для наблюдения картины интерференции расщепление пучка на два происходит в результате отражения и преломления пучка на передней (верхней) и задней (нижней) поверхностях пленки.

Для определения картины интерференции необходимо найти распределение оптической разности хода в системе.



В отраженном свете!

Оптическая система представляет собой очень тонкую пленку с показателем преломления больше, чем показатель преломления среды.

Падающее монохроматическое излучение это как бы единый луч (SC и SA) частично испытывает отражение и преломление на верхней поверхности пленки.

Преломленная часть луча (AD) снова испытывает отражение от нижней поверхности и в BC возвращается с отраженным углом на верхней поверхности. В зависимости от разности хода этих лучей наблюдается тот или иной результат интерференции. От BC по направлению к O лучи имеют одинаковую оптическую длину пути, поэтому  $\Delta = (ADC) - (BC)$  где

$$\begin{aligned} (ADC) &= 2AD \cdot n \\ (BC) &= BC n' \pm \frac{\lambda}{2} \end{aligned}$$

( $AD = DC$ )  
(при отражении от более плотной среды фаза колебаний смещается на  $\pi$ , что приводит к изменению оптической длины луча на  $\frac{\lambda}{2}$  - экспериментальный факт)

Параметрами данной оптической системы являются: соотношение показателей преломления сред  $n$  и  $n'$ , угол падения лучей  $\varphi$ , угол преломления  $\varphi'$ , толщина пленки в данном месте  $h$ .

Вывод окончательного выражения для оптической разности



Цит. Когда лучи в данной системе светятся в раздвиг "Локализация полос интерференции" в учебнике Ландсберга "Оптика".

и  $\Delta$  в данном случае вычислит так:

$$\Delta = 2hn \cos i \pm \frac{\lambda}{2}, \text{ если в ней укладывается целое}$$

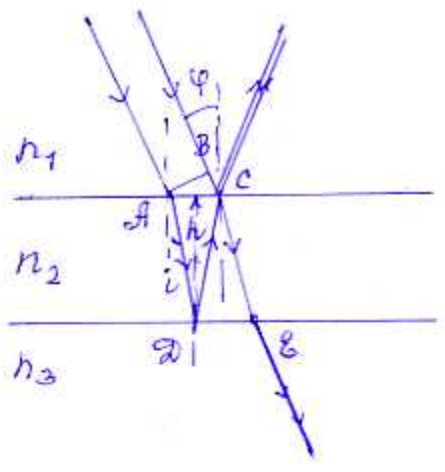
число длин волн - наблюдается макс, четное число полуwave - min.

Если падение лучей на пов-сть пленки нормально к поверхности, то  $\Delta = 2hn \pm \frac{\lambda}{2}$  Картина на верхней пов-сти пленки.

Пошаго, что картина интерференции зависит от распределения оптической разности хода, разберем еще пример:

Рассмотрим пример оптической системы:

Пленка малая на поверхности водн.  $n_1 < n_2 < n_3$   
В отраженном свете:



$$\Delta = (ADC) - (BC), \text{ где}$$

$$(ADC) = 2ADn_2 \pm \frac{\lambda}{2} ; (BC) = BCn_1 \pm \frac{\lambda}{2} ;$$

и  $\Delta = 2ADn_2 - BCn_1$ ; из алгебраических преобразований

$$\Delta = 2hn_2 \cos i - \text{Картина на нижней пов-сти пленки}$$

В проходящем свете:

$$\Delta = (ADCE) - (BCE), \text{ где}$$

$$(ADCE) = 2ADn_2 + CEn_2 \pm \frac{\lambda}{2} \quad \left(\frac{\lambda}{2} \text{ на нижней границе}\right)$$

$$(BCE) = BCn_1 + CEn_2$$

тогда  $\Delta = 2ADn_2 + CEn_2 \pm \frac{\lambda}{2} - BCn_1 - CEn_2 =$

$$= 2ADn_2 - BCn_1 \pm \frac{\lambda}{2}; \text{ из алгебраических преобразований}$$

$$\Delta = 2hn_2 \cos i \pm \frac{\lambda}{2} \quad \text{Картина на верхней пов-сти пленки.}$$

Д.С. При одних и тех же параметрах системы интерференционные картины на верхней и нижней границе образны друг другу: когда макс на верхней - min на нижней! (14)

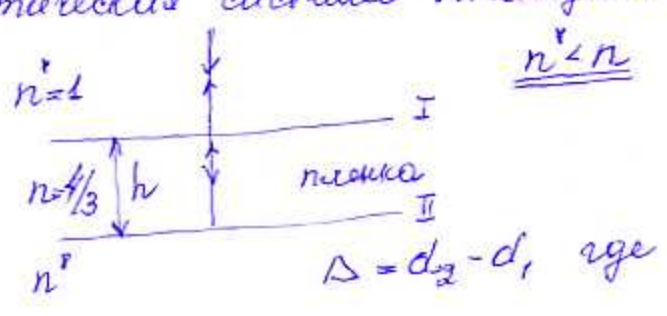


Инт. Задача 4. Толщина идеальной плоскопараллельной пленки монотонно возрастает от 0 миллиметров. Пленка освещается монохроматическим светом с длиной волны  $\lambda$ , падающим нормально к поверхности. При какой наименьшей толщине пленки появится картина интерференции? (1) Какой вид она будет иметь? (2) Как будет меняться картина по мере нарастания толщины пленки? (3) Как будет меняться картина по мере нарастания толщины пленки, если освещать её белым светом (набором длин волн в интервале 400-700 нм)? (4)

Моделью к этой задаче может служить мыльная пленка, натянута на бесконечно тонкую проволоку и расположенная горизонтально. Если на пленку капать мыльный раствор, толщина пленки будет постепенно нарастать.

Картины интерференции будем наблюдать в отраженном свете, т.е. на верхней поверхности пленки.

(1) Оптическая система выглядит так:



$\underline{n_1 < n_2}$

Найти картину интерференции - найти распределение разности хода лучей

$d_1 = \pm \frac{\lambda}{2}$  из-за изменения фазы колебаний на границе I

$d_2 = 2hn$  - потери по пути на границе II нет, т.к.  $n_1 < n_2$

$\Delta = 2hn \pm \frac{\lambda}{2}$

Впервые мы будем наблюдать картину интерференции когда возникнет 1-ый интерференционный максимум, т.е. когда в данной  $\Delta$  уложится  $\lambda$ , т.е.

$\Delta = 2hn + \frac{\lambda}{2} = \lambda \Rightarrow \underline{h_{\min} = \frac{\lambda}{4n}}$  - это минимальная толщина!

(2) Картина интерференции: вся пленка ярко освещенная, так как в каждой точке её толщина одинакова и выполняется условие интерференции в 1-ом порядке.

Порядок интерференции будем обозначать приходя у толщины -  $h_{\min} = \frac{\lambda}{4n}$  - интерференционный max 1-го порядка.

Если, например,  $\lambda = 400 \text{ нм}$ , то  $h_{\min} = \frac{400 \cdot 3}{4 \cdot 4} = 75 \text{ нм}$ .  
 Пленка ярко освещенная!



Упт. (3) По мере нарастания толщины пленки продолжение задачи (4) разности хода будет укладываться больше чем одна и картинка будет темнеть, когда в разности хода уложатся  $\frac{3}{2}\lambda$  - условие наблюдаемая мин интерференции - пленка станет темной - это при толщине

$$2hn + \frac{\lambda}{2} = \Delta = \frac{3}{2}\lambda \Rightarrow h = \frac{\lambda}{2n} \text{ мин.}, \text{ далее}$$

при увеличении  $h$ , когда в  $\Delta$  уложится  $2\lambda$

$$2hn + \frac{\lambda}{2} = 2\lambda \Rightarrow h^{II} = \frac{3\lambda}{4n} \text{ наблюдается интерференционный макс } 2^{\text{го}} \text{ порядка}$$

При нарастании толщины пленки, она становится то темной, то ярко фиолетовой.

Макс 3<sup>го</sup> порядка наблюдается при  $h^{III} = \frac{5\lambda}{4n}$

Макс 4<sup>го</sup> порядка — — — при  $h^{IV} = \frac{7\lambda}{4n}$  и т.д.

(4) Для исследования того, как будет наблюдаться картинка при облучении белым светом, из набора сплошной спектра  $400 \div 700$  нм выберем 4 длины волн, так называемые - реперные точки. Определим для них толщину, при которых наблюдаются макс интерференции и обобщим.

Есть:

- $\lambda_1 = 400 \text{ нм}$
- $\lambda_2 = 500 \text{ нм}$
- $\lambda_3 = 600 \text{ нм}$
- $\lambda_4 = 700 \text{ нм}$

- 1) Когда  $\Delta$  становится  $= 400 \text{ нм} = \lambda_1$  (при этом - пленка фиолетовая)
  - $h_1^I = \frac{\lambda_1}{4n} = \frac{400}{4n} \text{ нм}$
- 2) Когда  $\Delta$  становится  $= 500 \text{ нм} = \lambda_2$  (при этом - пленка зеленая)
  - $h_2^I = \frac{\lambda_2}{4n} = \frac{500}{4n} \text{ нм}$
- 3) Когда  $\Delta$  становится  $= 600 \text{ нм} = \lambda_3$  (при этом - пленка желтая)
  - $h_3^I = \frac{\lambda_3}{4n} = \frac{600}{4n} \text{ нм}$
- 4) Когда  $\Delta$  становится  $= 700 \text{ нм} = \lambda_4$  (при этом - пленка красная)
  - $h_4^I = \frac{\lambda_4}{4n} = \frac{700}{4n} \text{ нм}$

Такая последовательность интерференционных окрасок носит название

Интерференционный спектр

в данном случае 1<sup>го</sup> порядка.



Инт. По мере нарастания толщины пленки  $\Delta$  увеличивается: и продолжение задано (4)

$h_1'' = \frac{32_1}{4n} = \frac{1200}{4n} \text{ нм (ф)}$	$h_1''' = \frac{52_1}{4n} = \frac{2000}{4n} \text{ нм (ф)}$	$h_1^{iv} = \frac{72_1}{4n} = \frac{2800}{4n} \text{ нм (ф) +}$
$h_2'' = \frac{32_2}{4n} = \frac{1500}{4n} \text{ нм (з)}$	$h_2''' = \frac{52_2}{4n} = \frac{2500}{4n} \text{ нм (з)}$	$h_2^{iv} = \frac{72_2}{4n} = \frac{3500}{4n} \text{ нм (з) +}$
$h_3'' = \frac{52_3}{4n} = \frac{1800}{4n} \text{ нм (п)}$	$h_3''' = \frac{52_3}{4n} = \frac{3000}{4n} \text{ нм (п)}$	$h_3^{iv} = \frac{72_3}{4n} = \frac{4200}{4n} \text{ нм (п) +}$
$h_4'' = \frac{32_4}{4n} = \frac{2100}{4n} \text{ нм (кр) + (а)}$	$h_4''' = \frac{52_4}{4n} = \frac{3500}{4n} \text{ нм (кр) + (б)}$	$h_4^{iv} = \frac{72_4}{4n} = \frac{4900}{4n} \text{ нм (кр) + (в)}$

Интерф. спектр 2<sup>го</sup> порядка      Интерф. спектр 3<sup>его</sup> порядка      Интерф. спектр 4<sup>го</sup> порядка

и т. д. ....

Если учесть, что пленка освещается сложными спектрами, то в интервалах толщины обозначенных буквами (а) и (б)  $\Delta$  такая, что ней укладываются попарно указанные длины волн, ещё и другие (находящиеся в промежутках между обозначенными). В этом случае окраска уже не монохроматическая. По мере увеличения толщины пленки  $\Delta$  расцвет и в ней может укладываться по несколько разных длин волн, которые в совокупности могут давать пленку просто светлой.

Примеры такой картины:

- 1) Мыльные пузыри
  - 2) Пленка масла или бензина на мутках
- Из-за разной толщины они окрашены цветными радуги, или просто светлые.

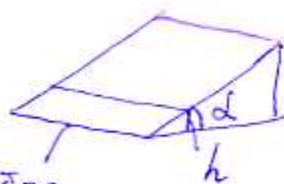
PS. Обратите внимание на то, что картина интерференции наблюдается в слое тонких пленках  $h \leq 1 \mu\text{м}$ , или 10 мкм.



Учт. Задача 5. Прозрачной клин с малым углом при вершине  $\alpha$  освещается параллельным пучком лучей белого света области длин волн  $\lambda_1 \div \lambda_2$ . Свет падает на клин нормально к поверхности. Найдите длину интерференционного спектра  $k$ -того порядка, если показатель преломления вещества клина равен  $n$  и клин находится в воздухе.

Из предыдущей задачи: по мере нарастания толщины пленки мы наблюдаем интерференционные спектры.

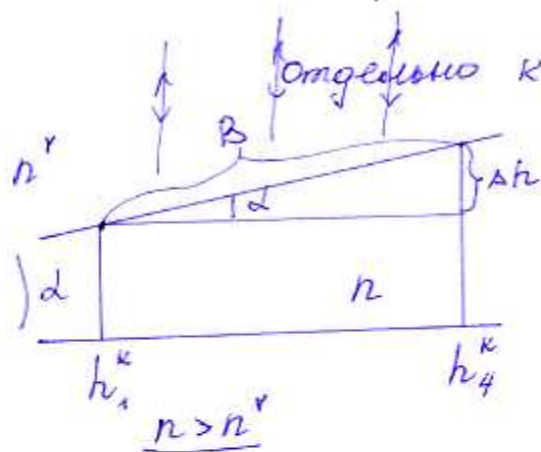
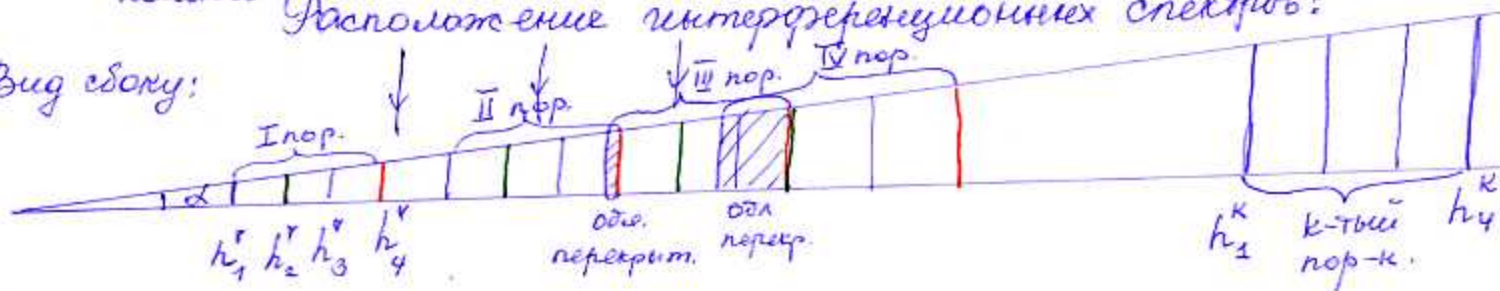
Клин - это пленка переменной толщины. Угол  $\alpha$  клина может быть постоянным, или переменной (конца Ньютона). В данной задаче он постоянен, значит толщина растет линейно. Угол  $\alpha$  очень мал: порядка 10-12 угл. сек.



ребро клина

Расположение интерференционных спектров:

Вид сбоку:



Отдельно  $k$ -тый пор-к в отраженном свете!

$B$  - ширина спектра  $k$ -того пор-ка  
Из геометрии:

$$B = \frac{\Delta h}{\sin \alpha} \quad \text{где } \Delta h = h_4^k - h_1^k$$

$h_1^k$  и  $h_4^k$  найдем из условий наблюдения интерференции:

Запишем выражения для оптич. разн. хода и усл. наблюд. интерфер.

$$\Delta_1^k = 2h_1^k n + \frac{\lambda_1}{2} = k \lambda_1 \quad \text{Вытнем из 2-го рав-ва 1-ое}$$

$$\Delta_4^k = 2h_4^k n + \frac{\lambda_4}{2} = k \lambda_4$$

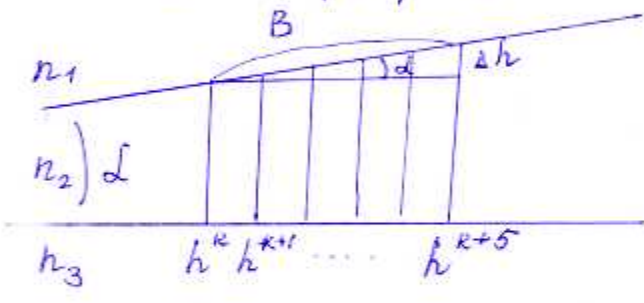
$$\frac{h_4^k - h_1^k}{4n} = \frac{(2k-1)(\lambda_4 - \lambda_1)}{4n} \quad \text{и тогда!}$$

$$B = \frac{(2k-1)(\lambda_4 - \lambda_1)}{4n \sin \alpha}$$

P.S. так как  $\alpha$  очень мал  $\sin \alpha \approx \alpha$ , выражению в радианах!



Штм. Задача 6. На водяной пленке, растекшейся по стеклянной пластинке кинжалом с перепадом толщины 0,03 мм на 10 см длины кинжала в отраженном свете наблюдается картина интерференции при освещении кинжала светом с  $\lambda = 500 \text{ нм}$ . (Падение лучей перпендикулярно поверхности кинжала). Определить ширину 5-интерференционного полос.



Свет отраженный!

B - ширина 5 полос

Из геометрии:

$$B = \frac{\Delta h}{\sin \alpha} = \frac{\Delta h}{\alpha}, \quad \text{где } \alpha \text{ - мал.}$$

Поскольку нас интересуют картина интерференции, которая зависит от распределения оптической разности хода в оптической системе,  $\Delta h$  найдем из выражений для оптической разности хода при толщинах  $h^k$  и  $h^{k+5}$  (как и в предыдущей задаче.)

В данной задаче соотношение показателей преломления  $n_1 < n_2 < n_3$ , поэтому интерферирующие лучи при отражении от верхней границы кинжала и от нижней испытывают измещение фазы колебаний на  $\pi$ . Поэтому в оптической разности хода отсутствует  $\frac{\lambda}{2}$ . Итак,  $\Delta h = h^{k+5} - h^k$ , найдем из оптических разностей хода при этих толщинах:

$$\begin{aligned} \Delta_k &= 2h^k n_2 = k\lambda - \text{и в ней укладывается } k\lambda \\ \Delta_{k+5} &= 2h^{k+5} n_2 = (k+5)\lambda - \text{и в ней укладывается } (k+5)\lambda \\ \hline h^{k+5} - h^k &= \frac{5\lambda}{2n_2} \quad (\text{Вычтем из 2-го урав-ка 1-ое}) \end{aligned}$$

Угол кинжала в задаче задан перепадом толщины



$$\alpha = \sin \alpha \approx \tan \alpha = \frac{d}{l}, \text{ тогда } \textcircled{*}$$

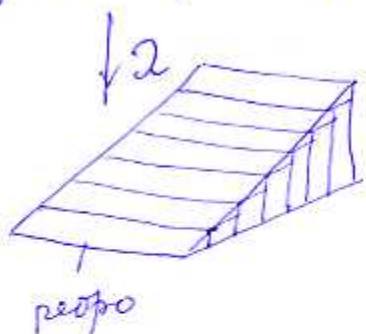
$$B = \frac{5\lambda}{2n_2} \frac{l}{d} = \frac{5 \cdot 10^{-9} \cdot 5 \cdot 10^{-2}}{2 \cdot 4 \cdot 3 \cdot 10^{-2}} = \frac{25}{8} = 3,125 \text{ мм}$$

Дано:  
 $d = 3 \cdot 10^{-2} \text{ мм}$   
 $l = 1 \cdot 10^2 \text{ мм}$   
 $\lambda = ?$   
 $\lambda = 5 \cdot 10^{-4} \text{ мм}$   
 $n_2 = \frac{4}{3}$



Упт. Продолжение задачи №6.

Условно теории: мы имеем дело с клином постоянной  
ушия при вершине. Если падает на пов-сть монохром. свет

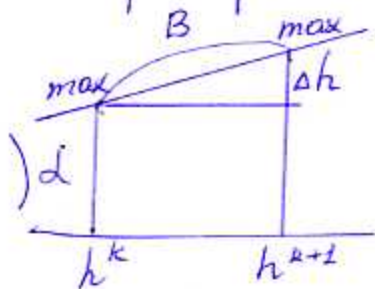


так и min располагаются на  
равном расстоянии (т.е. ширина  
интерференционной полосы постоянна)  
и перпендикулярно ребру клина.

Это происходит потому, что в дан-  
ном случае оптическая разность  
хода увеличивается линейно с  
ростом толщины клина.

В предыдущей задаче можно найти ширину интерфе-  
ренционной полосы, а затем эту величину умножить  
на количество полос, ширину которых нужно опре-  
делить.

Например:



$B$  - ширина интерференционной  
полосы.

$$B = \frac{\Delta h}{\alpha}, \text{ где } \Delta h \text{ мы запишем } \Delta$$
$$\left. \begin{aligned} \Delta_k &= 2h n_2 = k \lambda \\ \Delta_{k+1} &= 2h n_2 = (k+1) \lambda \end{aligned} \right\} \Delta h = \frac{\lambda}{2n_2} \text{ и}$$

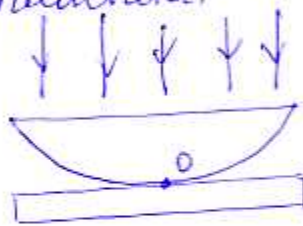
$$B = \frac{\lambda}{2n_2 \alpha} = 0,625 \text{ мм.}$$



Улыбка Ньютона

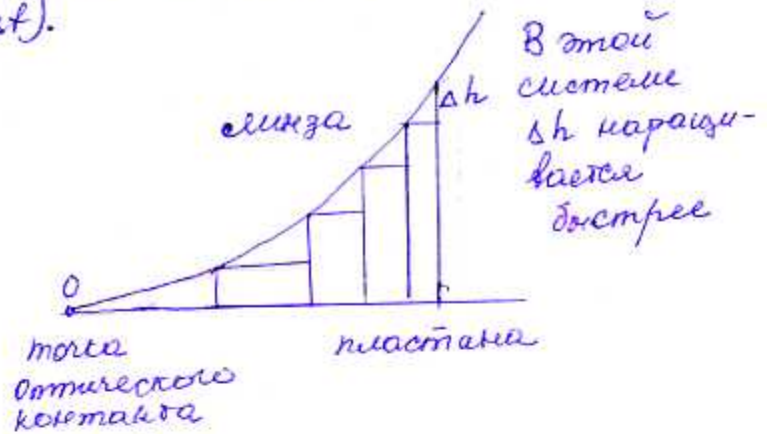
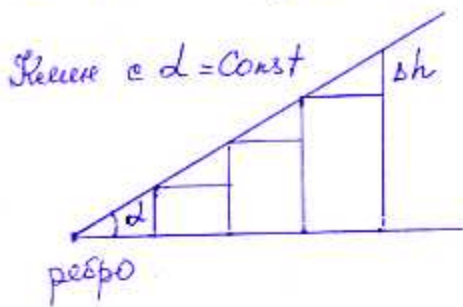
Одним из способов увидеть наблюдаемые картины интерференции (при амплитудном делении пучка) является система: линза большого радиуса кривизны, лежащая на плоской стеклянной пластине.

①

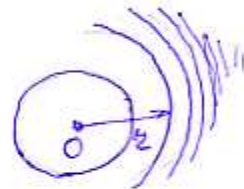


В такой системе под микроскопом наблюдаются картины интерференции Исаак Ньютон.

В этом случае аналогом пленки является зазор между линзой и пластиной. В отражённой свете картина интерференции наблюдается на нижней поверхности линзы, в проходящем - на верхней поверхности пластинки в виде колец переменной толщины. Данная система, если смотреть на неё сбоку, представляется клином с переменной толщиной при вершине. Для того, чтобы произошло сложение интерференционной картины, надо, чтобы приращение толщины было постоянным (если приращение толщины  $\Delta = \text{const}$ , то и приращение  $\Delta = \text{const}$ ).



Вид картин сверху



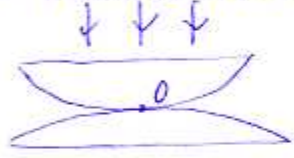
Использование для наблюдения картины интерференции системы линза-пластина позволяет определить на каком расстоянии от точки оптического контакта будут располагаться тем и свет интерференции, т.е. найти связь радиусов колец с параметрами системы.

Вывод такой зависимости для простейшей системы: линза и пластинка в воздухе можно посмотреть или в лабораторной работе №8, или в учебнике Ландсберга. ②

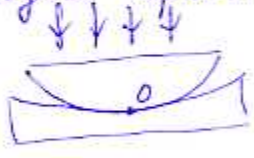


Упт. Система интерференционных колец может наблюдаться еще в 2х случаях:

② Две выпуклые линзы большого радиуса кривизны, сложенные выпуклыми поверхностями друг к другу. Большие радиусы кривизны для того, чтобы толщина зазора достаточно, дажно оставалась очень малой.



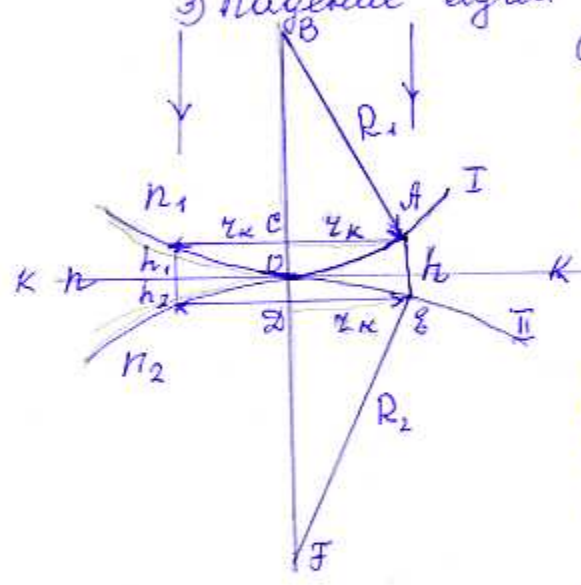
③ Выпуклая линза, сложенная вогнутую, тоже больших радиусов кривизны.



Итак: во всех трех случаях картина интерференции представляется собой систему чередования светлых (так интерф.) и темных (мин интерф.) колец с центром в точке оптического контакта линз. (0).  
Почему картина в виде колец - вопрос Вам.

Решение задачи о распределении картины интерференции в оптической системе должно заключаться в определенном виде  $\Delta$  с параметрами системы и геометрической решимости.  
 Пример: Система ②

- 1) В отраженной свете
- 2) Распределение темных колец (мин) интерференции
- 3) падение лучей перпендикулярно к поверхности.



Смотря сверху, мы видим картину интерференции на границе I (поверхности верхней линзы).  
 В точке А на расстоянии  $r_k$  от оптической оси линз мы видим интерф. мин  $k$ -того порядка. (1) А одна из точек  $k$ -того темного кольца.  
 $n_1$  - показатель преломления верхней линзы  
 $n_2$  - показатель преломления нижней линзы  
 $R_1$  и  $R_2$  - радиусы кривизны соответствующих линз.  
 $n$  - показатель преломления среды зазора (племки)  
 $h$  - толщина зазора в (1) А.

Упт.:  $n_1 > n < n_2$   
 $\left. \begin{matrix} R_1 \\ R_2 \end{matrix} \right\} \gg h$

Линзы радиусе  $k$ -того темного кольца  
 $r_k = ?$



Илт.

Оптическая разность хода лучей в зазоре при толщине

$h \rightarrow \Delta = 2hn + \frac{\lambda}{2}$ , поскольку мы имеем тип интерференции, в этой  $\Delta$  должно уложиться целое число длин волн:

$$\Delta = (2k+1)\frac{\lambda}{2}, \text{ тогда:}$$

$$2hn + \frac{\lambda}{2} = (2k+1)\frac{\lambda}{2} \Rightarrow 2hn = k\lambda, \text{ и}$$

толщина зазора в этом месте:  $h = \frac{k\lambda}{2n}$  \*

Теперь надо геометрически связать  $h$  с  $r_k$ .

Поделим зазор прямой КК на 2 части, тогда  $h = h_1 + h_2$ , далее по теореме Пифагора:

$$\left. \begin{aligned} r_k^2 &= R_1^2 - (R_1 - h_1)^2 = R_1^2 - R_1^2 + 2R_1 h_1 - h_1^2 = 2R_1 h_1 \\ r_k^2 &= R_2^2 - (R_2 - h_2)^2 = R_2^2 - R_2^2 + 2R_2 h_2 - h_2^2 = 2R_2 h_2 \end{aligned} \right\} \begin{array}{l} \text{величины} \\ h_1^2 \text{ и } h_2^2 \text{ величин} \\ \text{ны второго} \\ \text{порядка малости.} \end{array}$$

тогда

$$\left. \begin{aligned} h_1 &= \frac{r_k^2}{2R_1} \\ h_2 &= \frac{r_k^2}{2R_2} \end{aligned} \right\} \text{ где, то } \underline{h = h_1 + h_2} = \frac{r_k^2}{2} \left( \frac{1}{R_1} + \frac{1}{R_2} \right) \text{ **}$$

Приравняем \* и \*\*:  $\frac{k\lambda}{2n} = \frac{r_k^2}{2} \left( \frac{R_2 + R_1}{R_1 R_2} \right)$  откуда

$$\underline{r_k^2 = \frac{k\lambda}{n} \left( \frac{R_1 R_2}{R_2 + R_1} \right)}$$
 связь  $r_k$  с параметрами в данной системе.

Если интерференционная картина наблюдается в системе (3) при тех же условиях 1), 2), 3), то

$$\underline{r_k^2 = \frac{k\lambda}{n} \left( \frac{R_1 R_2}{R_2 - R_1} \right)}$$



Мет. Задача 7. Стеклопленая симметричная двояковыпуклая линза с такой же (стекляной и симметричной) двояковогнутой, причем получившаяся система имеет оптическую силу 0,2 диоптрий. Между линзами в центре имеется контакт, вокруг которого в отраженном свете наблюдается картина интерференции. Определить радиус пятого темного кольца, если длина волны света 600 нм, показатель преломления обеих линз одинаков и равен 1,5.

Дано:  
 $D = 0,2 \text{ дп}$   
 $\lambda = 600 \text{ нм}$   
 $n_{\text{ст}} = 1,5$   
 $n = 1$   
 $\chi_k = ?$



Небольшой экскурс в область геометрической оптики: по условию заданы линзы тонкие и разных радиусов кривизны. Если линзы симметричны, то радиусы образующих данную линзу поверхностей одинаковы.

У выпуклой линзы оба радиуса  $R_1$ , у вогнутой  $-R_2$ . По определению оптическая сила тонкой линзы:

$$D = (n' - n_{\text{ср}}) \left( \frac{1}{R_1} - \frac{1}{R_2} \right), \text{ с учетом правила знаков и параметров линз:}$$

$$\left. \begin{aligned} D_1 &= (n' - 1) \frac{2}{R_1} \\ D_2 &= -(n' - 1) \frac{2}{R_2} \end{aligned} \right\} \text{ учесть, что } n = 1$$

Оптическая сила системы тонких линз равна сумме их оптических сил, тогда

$$D = D_1 + D_2 = 2(n' - 1) \frac{R_2 - R_1}{R_1 R_2}$$

Из решения предыдущего примера:

$$\chi_k^2 = \frac{k \lambda}{n} \left( \frac{R_1 R_2}{R_2 - R_1} \right) = k \lambda \left( \frac{R_1 R_2}{R_2 - R_1} \right), \text{ учесть } n = 1$$

Выразим из обеих частей  $\frac{R_1 R_2}{R_2 - R_1}$  и приравняем:

$$\frac{\chi_k^2}{k \lambda} = \frac{2(n' - 1)}{D}, \text{ отсюда}$$

$$\chi_k^2 = \frac{2 k \lambda (n' - 1)}{D} = \frac{2 \cdot 5 \cdot 6 \cdot 10^{-7} \cdot 1}{2 \cdot 2 \cdot 10^{-1}} = 0,15 \cdot 10^{-4} \text{ м}^2$$

$$\chi_k = 0,38 \cdot 10^{-2} \text{ (м)} = \underline{3,8 \text{ мм}}$$